

بکارگیری تکنیک بهینه در انسداد اختلال ایجاد شده و جمر از سیگنال اصلی رادار

پویا درخشان بر جویی

دانشگاه آزاد اسلامی واحد نایین info@pouyaderakhshan.ir

چکیده

یکی از روش‌های ایجاد اختلال در رادار، بکارگیری جمرهای فریبنده می‌باشد. این جمرها سیگنال‌های قوی مشابه سیگنال‌های بازگشته هدف، به سمت رادار ارسال می‌کنند. ورود این سیگنال‌ها از گلبرگ اصلی آنتن رادار، باعث ایجاد اهداف دروغین در بردهای متفاوت می‌شوند و ورود آنها از گلبرگ‌های فرعی آنتن رادار باعث آشکارسازی اهداف دروغین در زاویه‌های متفاوت می‌شوند. در این مقاله با توجه به شبیه‌سازی‌های انجام شده در حضور جمرها روش بهینه‌ای برای انسداد اختلال گلبرگ فرعی از سیگنال اصلی رادار پیشنهاد شده است. در این شبیه‌سازی از واحد جمع‌کننده پالس استفاده شده است.

کلید واژه

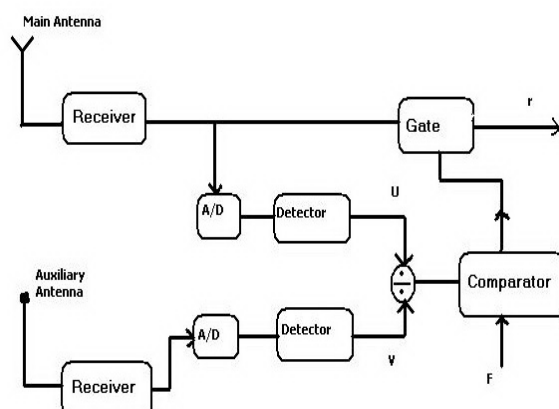
کلاتر، جمینگ، گلبرگ رادار

۱- مقدمه

طرح اصلی سیستم کلاسیک انسداد اختلال گلبرگ فرعی به صورت شکل (۱) می‌باشد که دارای دو کanal یا مسیر به نام‌های کanal اصلی و کanal کمکی است. آنتن کمکی یک آنتن همه‌جهته می‌باشد و بهره آن به‌گونه‌ای طراحی شده است که از بزرگ‌ترین گلبرگ فرعی آنتن اصلی بزرگ‌تر باشد.

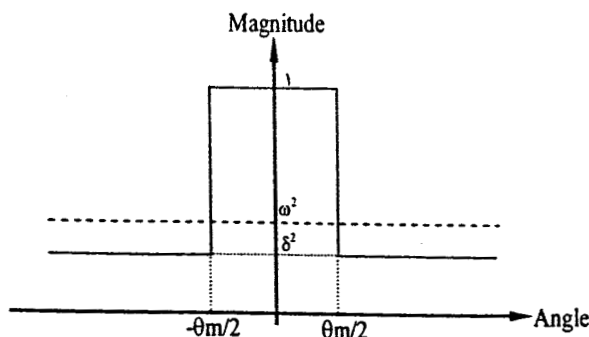
این سیستم در هر سلول برد راداری سیگنال‌ها را در هر دو کanal دریافت و پردازش می‌کند. واحد مقایسه‌کننده برای هر سلول برد راداری تصمیم می‌گیرد که کanal اصلی رادار را مسدود کند یا خیر. وقتی که هدفی در جهت گلبرگ اصلی قرار داشته باشد، از آنجا که بهره گلبرگ اصلی بیشتر از بهره آنتن کمکی است، سیگنال خروجی کanal اصلی بزرگ‌تر از سیگنال کanal کمکی می‌شود و SLB^۱ به سیگنال اصلی اجازه عبور می‌دهد تا وارد آشکارساز رادار شود، اما اگر سیگنال اختلالی در جهت گلبرگ‌های فرعی آنتن اصلی قرار گیرد، از آنجا که بهره آنتن کمکی بزرگ‌تر از بهره گلبرگ‌های فرعی آنتن اصلی است، سیگنال خروجی کanal کمکی بزرگ‌تر از سیگنال کanal اصلی

انسداد اختلال گلبرگ فرعی یک راه مؤثر برای مقابله با اختلال‌های فریبنده وارد شده از گلبرگ فرعی آنتن را تأمین می‌کند. اساس کار آن، جلوگیری از آشکارسازی رادار وقتی که چنین سیگنال‌هایی در گلبرگ‌های فرعی آنتن رادار ظاهر می‌شوند، است.



شکل ۱- نمایش بلوکی سیستم SLB کلاسیک

SLB این سیگنال را سد می کند و مانع ورود آن به آشکارساز اصلی رادار می شود. از طرف دیگر برای بیان ریاضی سیستم پترن آتن اصلی و کمکی را مطابق شکل (۲) ایده آل در نظر می گیریم.



شکل ۲- نمایش پترن های ایده آل آتن اصلی (-)
و آتن کمکی (-)

می شود و SLB به سیگنال کanal اصلی اجازه عبور نمی دهد و در نتیجه سیگنال اختلال وارد سیستم آشکارساز رادار نمی شود. در یک سیستم SLB عملی به جای اینکه سیگنال دو کanal با هم مقایسه شوند، نسبت آنها با یک سطح آستانه که به آستانه مسدود کنندگی معروف است، مقایسه می شود [5][2][1]. از آنجا که ماهیت سیگنال های هدف و اختلال تصادفی می باشند، عملکرد SLB با احتمالات آشکارسازی و مسدود کردن، ارزیابی می شود و براساس این احتمالات مقادیر بهره آتن کمکی و سطح آستانه مسدود کنندگی و آشکارسازی، برای یک سیستم SLB طراحی می شود.

۲- بیان عملکرد و مسدود کنندگی سیستم SLB

با توجه به بلوک دیاگرام یک سیستم SLB نمایش داده شده در شکل (۱) در کنار آتن اصلی و گیرنده اصلی رادار یک آتن کمکی همه جهته به همراه گیرنده آن به عنوان کanal کمکی قرار دارد. سیگنال های RF توسط آتن هر دو کanal دریافت می شوند و در واحد گیرنده که شامل واحدهای RF و IF و باند پایه می باشند، به سیگنال های آنالوگ باند پایه تبدیل می شوند. سیگنال های آنالوگ برای انجام پردازش های لازم به سیگنال دیجیتال تبدیل می شوند و دامنه آنها در واحد آشکارساز قانون مربع مشخص می شود.

واحد منطق SLB برای هرسلول برد راداری، نسبت دامنه سیگنال کanal کمکی به دامنه سیگنال کanal اصلی را با حد آستانه مسدود کنندگی مقایسه می کند. در سیستم SLB گیرنده کanal کمکی دقیقاً مشابه گیرنده کanal اصلی طراحی می شود تا تفاوت دامنه سیگنال های خروجی دو کanal ناشی از بهره متفاوت پترن آنها باشد. بنابراین اگر سیگنالی در جهت گلبرگ اصلی، آتن اصلی قرار داشته باشد، از آنجا که بهره آتن کمکی کوچک تر از بهره گلبرگ اصلی، آتن اصلی است، نسبت دامنه سیگنال کanal کمکی به کanal اصلی کوچک تر از سطح آستانه مسدود کنندگی می شود و منطق SLB به این سیگنال اجازه عبور نمی دهد تا وارد آشکارساز اصلی رادار شود. اما اگر سیگنالی در جهت گلبرگ فرعی آتن اصلی قرار داشته باشد، از آنجا که بهره آتن کمکی بزرگ تر از بهره بلوک های فرعی آتن اصلی است، نسبت دامنه سیگنال کanal کمکی به کanal اصلی بزرگ تر از سطح آستانه مسدود کنندگی می شود و واحد منطقی

۳- محاسبه احتمالات سیستم SLB

در حالت کلی بدون اینکه برای متغیرهای تصادفی سیگنال های کanal کمکی و کanal اصلی شرایط خاصی در نظر گرفته شود، دوتابع احتمال عمومی آشکارسازی و مسدود کردن برای سیستم SLB تعریف می شود. را یکتابع چگالی احتمالی توام y, x با فرض $P(x,y)$ مستقل بودن متغیرهای تصادفی y, x در نظر می گیریم.

$$P_D = \int_Y^{\infty} p(x) \left[\int_0^{F_U} p(y) dy \right] dx \quad (1)$$

$$P_B = \int_Y^{\infty} p(y) \left[\int_0^{v/F} p(x) dx \right] dy \quad (2)$$

در دو حالت P_D و P_B که به ترتیب احتمال آشکارسازی و احتمال مسدود کردن هستند را بدست می آوریم. در حال اول با وجود یک واحد جمع کننده پالس در سیستم SLB و در حالت دوم بدون استفاده از واحد جمع کننده پالس انجام می شود [4][3][1].

۴- محاسبه احتمالات سیستم SLB با وجود واحد جمع کننده پالس

در این حالت یک واحد جمع کننده پالس بعد از خروجی واحد آشکارساز قانون مربع در بلوک دیاگرام سیستم SLB

$$\chi = \sum_{n=1}^N \frac{E_n}{2\sigma^2} \quad (8)$$

برای یک گیرنده رادار که از آشکارساز قانون مرتع به همراه واحد جمع کننده N پالسی استفاده می‌کند، نیز روابط فوق صادق است. با این تفاوت که در گیرنده رادار سیگنال‌های دریافتی بازتاب‌های برگشتی از اهداف می‌باشند. براساس تموج هدف مدل‌های متفاوتی برای سیگنال بازتاب هدف ارائه شده است. اگر هدف بدون تموج باشد بازتاب‌های آن برای همه N پالس مقدار ثابتی خواهد داشت یعنی تمام مقادیر در رابطه (8) با هم مساوی خواهد بود [6].

احتمال مسدودکنندگی با ساده‌سازی‌های جبری به صورت زیر محاسبه می‌شود.

$$P_B = \left(\frac{F}{F+1} \right)^N \sum_{i=0}^{\infty} \frac{(FP_v)^i}{(N-1+i)!} \sum_{m=N}^{\infty} e^{-P_v} \frac{(m+N+i-1)!}{m! (F+1)^{m+2}} \sum_{k=0}^{m-N} e^{-P_u} \frac{P_u^k}{k!} \quad (9)$$

و احتمال آشکارسازی نیز به صورت زیر بیان می‌شود:

$$P_{GD} = P_d(x) - \frac{1}{(F+1)^N} \sum_{k=0}^{\infty} e^{-P_v} \frac{P_v^k}{k!} \times \sum_{m=0}^{N-1+k} \frac{\left(\frac{F}{F+1}\right)^m}{m!} \times \sum_{i=0}^{\infty} e^{-P_y} \frac{(m+N+i-1)!}{(N+i-1)!} \frac{\left(\frac{P_y}{F+1}\right)}{i!} \times \sum_{n=0}^{N+i+m-1} e^{-(F+1)Y} \frac{[(F+1)Y]^n}{n!} \quad (10)$$

$$P_d(x) = \sum_{m=0}^{N-1} e^{-Y} \frac{Y^m}{m!} + \sum_{m=0}^{\infty} e^{-Y} \left(1 - \sum_{i=0}^{m-N} e^{-P_u} \frac{P_u^i}{i!} \right) \quad (11)$$

همان‌طور که در رابطه (10) نشان می‌دهد، احتمال عمومی آشکارسازی P_D ، تابعی از N ، تعداد پالس استفاده شده در واحد جمع کننده پالس و P_y متوسط توان سیگنال نرم‌الیزه شده کانال اصلی، Y ، سطح آستانه آشکارسازی، P_x ، متوسط توان سیگنال نرم‌الیزه شده کانال فرعی و F ، سطح آستانه $PGD(N, P_u, P_v, F)$ نمایش داد و به همین ترتیب، احتمال عمومی مسدودکنندگی می‌باشد و می‌توان آن را به صورت $PGD(N, P_u, P_v, F)$ مسدودکردن به صورت $(PGB(N, P_u, P_v, F))$ بیان می‌شود.

شکل (1) برای هر دو کانال اصلی و فرعی در نظر گرفته می‌شود و متغیرهای تصادفی y ، x خروجی این واحد را مشخص می‌کنند. واحد جمع کننده پالس نمونه‌های سیگنال دریافتی متناظر با هر سلول برد راداری χ برای چند پالس متوالی متناظر با همان سلول را با هم جمع می‌کند.

برای محاسبه P_D و P_B در این حالت ابتدا تابع چگالی احتمالی متغیرهای تصادفی y ، x در خروجی واحد جمع کننده پالس بدست می‌آید [8][9].

همان‌طور که می‌دانیم مجموع مربعات d متغیر تصادفی گوسی مستقل با میانگین‌های μ_i برای $i=1, 2, \dots, d$ واریانس مساوی σ^2 برای همه آنها دارای توزیع مرتع کای غیرمرکزی با درجه آزادی d و پارامتر λ می‌باشد و تابع چگالی احتمال این مجموع به صورت فرمول (3) می‌باشد.

$$p(y) = \frac{1}{2\sigma^2} \left(\frac{y}{\lambda} \right)^{\frac{(d-2)}{4}} e^{\frac{(y+\lambda)}{2\sigma^2}} I_{\frac{d}{2}-1} \left(\frac{\sqrt{y\lambda}}{\sigma^2} \right) \quad (3)$$

که در این رابطه $(x) I_n$ تابع بسل اصلاح شده نوع اول از مرتبه n و پارامتر λ به صورت رابطه (4) می‌باشد:

$$\lambda = \sum_{i=1}^d \mu_i^2 \quad (4)$$

به طور مشخص، اگر yn را برای مجموع مربعات n این زوج خروجی یک گیرنده غیرهم‌فاز یعنی مولفه‌های هم‌فاز و متعامد در نظر بگیریم. yn دارای توزیع مرتع کای غیرمرکزی با درجه آزادی 2 و پارامترهای μ_{1n} و μ_{2n} می‌باشد.

$$\mu_{1,n} = \sqrt{E_n} \cos \theta, \quad \mu_{2,n} = \sqrt{E_n} \sin \theta \quad (5)$$

که En یک انرژی سیگنال در خروجی گیرنده می‌باشد و طبق رابطه (4) پارامتر λ برای این توزیع برابر En می‌باشد. حال اگر N گیرنده هم فاز را در نظر بگیریم، مجموع خروجی‌های آنها (yn) که میانگین هر کدام En می‌باشد، دارای توزیع مرتع کای غیرمرکزی با درجه آزادی $2N$ و تابع چگالی احتمال به صورت رابطه (6) می‌باشد [7].

$$p(x) = \left(\frac{x}{\chi} \right)^{\frac{(N-1)}{2}} e^{-(n+\chi)} I_{N-1} \left(2\sqrt{y\chi} \right) \quad (6)$$

و X و y پارامترهای نرم‌الیزه شده می‌باشند:

$$x = \sum_{n=1}^N \frac{y_n}{2\sigma^2} \quad (7)$$

$$P_B(N, J, \beta, F) = P_B(N, J, \beta^2 J, F) \quad (17)$$

۵- محاسبه احتمالات سیستم SLB بدون استفاده از واحد جمع کننده پالس

روابط ساختار سیستم SLB در این وضعیت به صورت توابع احتمال شرطی بیان می‌شوند.

سه وضعیت شرطی را برای این توابع احتمال در نظر می‌گیریم: H0: عدم وجود هدف و اختلال (فقط نویز گیرنده وجود دارد).

H1: وجود هدف در گلبرگ اصلی

H2: وجود اختلال در گلبرگ فرعی

X(x) را سیگنال کanal اصلی، Z(x) را سیگنال کanal فرعی در نظر می‌گیریم:

$$X(x) = \begin{cases} N_m(x) \\ N_m(x) + Ae^{J\phi A} \\ N_m(x) + Ce^{J\phi C} \end{cases} \quad (18)$$

$$Z(x) = \begin{cases} N_a(x) \\ N_a(x) + wAe^{J\phi A} \\ N_a(x) + \beta Ce^{J\phi C} \end{cases} \quad (19)$$

N_a(x)، N_m(x) به ترتیب سیگنال نویز گیرنده در کanal اصلی و کanal کمکی می‌باشند که به صورت نویز سفید گوسی با میانگین صفر و واریانس σ_m², σ_a² در نظر گرفته می‌شود. A و φ_A دامنه و فاز سیگنال هدف می‌باشند. اگر A معلوم و φ_A تصادفی باشد، مدل سورلینگ صفر برای هدف در نظر گرفته شده است و اگر A نیز تصادفی باشد، مدل سورلینگ یک برای هدف در نظر گرفته شده است.

C و φ_C دامنه و فاز سیگنال اختلال می‌باشند که سیگنال اختلال نیز یا به صورت مدل سورلینگ صفر و یا مدل سورلینگ یک در نظر گرفته می‌شود و w نسبت بهره ولتاژ آنتن کمکی به بهره ولتاژ گلبرگ اصلی آنتن اصلی رادار می‌باشد و β نسبت بهره ولتاژ آنتن کمکی به بهره ولتاژ گلبرگ‌های فرعی آنتن اصلی رادار می‌باشد.

$$P(y | H_0) = \frac{1}{\sigma_m^2} \exp\left(\frac{-y}{\sigma_m^2}\right) \quad (20)$$

براساس این که در سیگنال‌های کanal اصلی و فرعی، هدف وجود داشته باشد یا اختلال حال‌های خاصی برای سیستم تعریف می‌شود و احتمال هر کدام از حالت‌ها به عنوان مشخصات سیستم SLB به صورت حالت خاص از توابع احتمالات عمومی PD و PB محاسبه می‌شود.

در حالتی که سیگنال‌های اختلال و هدف وجود نداشته باشند در کanal اصلی و فرعی فقط نویز گیرنده وجود دارد و در این صورت x, y برابر صفر می‌باشند. در این حالت احتمال آشکارسازی، احتمال آزیز غلط (P_{FA}) نامیده می‌شود و داریم:

$$P_{FA}(N, Y, F) = P_{GD}(N, O, T, O, F) \quad (12)$$

اما در حالتی که در جهت گلبرگ اصلی آنتن رادار فقط هدف وجود داشته باشد احتمال آشکارسازی هدف واقعی، P_D به صورت:

$$P_D(N, S, W, Y, F) = P_D(N, S, Y, W^2 S, F) \quad (13)$$

می‌باشد که W2 بهره آنتن کمکی همه‌جهته و S توان نرم‌الیزه شده سیگنال هدف است.

در حالتی که در جهت گلبرگ فرعی آنتن رادار فقط اختلال وجود داشته باشد، احتمال آشکارسازی هدف دروغین (PFT) به صورت زیر محاسبه می‌شود.

$$P_{FT}(N, J, \beta, Y, F) = P_D(N, J, Y, \beta^2 J, F) \quad (14)$$

که β نسبت بهره آنتن کمکی به بهره گلبرگ‌های فرعی آنتن اصلی است و J توان نرم‌الیزه شده سیگنال اختلال است. در حالتی که در کanal اصلی و فرعی فقط نویز گیرنده وجود داشته باشد احتمال مسدود کردن اشتباه، PFB، به صورت زیر است.

$$P_{FB}(N, F) = P_B(N, 0, 0, F) \quad (15)$$

و در حالتی که در جهت گلبرگ اصلی آنتن رادار فقط هدف وجود داشته باشد، احتمال مسدود کردن هدف، P_{TB} به صورت:

$$P_{TB}(N, S, W, F) = P_B(N, S, W^2 S, F) \quad (16)$$

و در وضعیتی که در جهت گلبرگ فرعی آنتن رادار فقط سیگنال اختلال وجود داشته باشد، احتمال مسدود کردن اختلال، P_B، به صورت فرمول (17) محاسبه می‌شود [5][3][2][1].

که در آن SNR₀ نسبت توان سیگنال هدف به توان نویز در کانال اصلی می باشد [10]

$$SNR_0 = \frac{A^2}{\sigma_m^2} \quad (35)$$

$$P_D = Q\left(\sqrt{2SnR_0}, \sqrt{2Y}\right) - \frac{F}{F+r} \left[1 - Q\left(\sqrt{\frac{2F.SNR_0}{F+r}}, w\sqrt{\frac{2SNR_0}{F+r}}\right)\right] - \frac{r}{F+r} Q\left(\sqrt{\frac{2SNR_0}{F+r}}, \sqrt{\frac{2F.SNR_0}{F+r}}\right) \quad (36)$$

$$+ e^{-SNR_0} \int_0^Y \exp(-y) I_0(2\sqrt{SNR_0 y}) Q\left(\frac{w\sqrt{SNR_0}}{r}, \sqrt{\frac{2Fy}{r}}\right) dy$$

۶- طراحی SLB و نتیجه‌گیری‌های شبیه‌سازی

براساس روابط ریاضی که برای سیستم SLB بدست آمد، روند طراحی برای یک سیستم SLB بدون احتمال جمع‌کننده پالس بیان می‌شود. در ابتدا به کمک شبیه‌سازی تأثیر پارامترهای سیستم بر احتمالات سیستم مانند احتمال مسدودکردن، PB، احتمال مسدودکردن هدف، PTB و احتمال آریز غلط PFA بررسی می‌شود. همان‌طور که در رابطه (۳۴) مشخص شد، احتمال مسدودکردن به سطح آستانه مسدودکنندگی، F، توان اختلال، JNR^۴ نسبت نویز در دو کانال، r و پارامتر β بستگی دارد. در نمودار شکل (۳) احتمال مسدودکردن بر سطح آستانه مسدودکنندگی برای مقادیر مختلف r به ازای $JNR=5dB$ و $\beta^2 = 5dB$ رسم شده است. با افزایش آستانه مسدودکنندگی احتمال مسدودکردن کاهش می‌یابد و این احتمال برای مقادیر مختلف r متفاوت است. اما با کاهش سطح آستانه مسدودکنندگی احتمال مسدودکردن برای مقادیر مختلف r تقریباً یکسان است. به عبارت دیگر برای احتمال مسدودکردن بزرگ وابستگی به پارامتر r کمتر است. همچنین به ازای r=0dB یعنی در حالتی که نویزگیرنده دو کانال یکسان است، احتمال مسدودکردن بیشترین مقدار را دارد [3][1].

$$P(y | H_1) = \frac{1}{\sigma_m^2} \exp\left(\frac{-y + A^2}{\sigma_m^2}\right) I_0\left(\frac{2A\sqrt{y}}{\sigma_m^2}\right) \quad (21)$$

$$P(y | H_2) = \frac{1}{\sigma_m^2} \exp\left(\frac{-y + C^2}{\sigma_m^2}\right) I_0\left(\frac{2C\sqrt{y}}{\sigma_m^2}\right) \quad (22)$$

$$P(x | H_0) = \frac{1}{\sigma_a^2} \exp\left(\frac{-x}{\sigma_a^2}\right) \quad (23)$$

$$P(x | H_1) = \frac{1}{\sigma_a^2} \exp\left(\frac{-x + (wA)^2}{\sigma_a^2}\right) I_0\left(\frac{2wA\sqrt{x}}{\sigma_a^2}\right) \quad (24)$$

$$P(x | H_2) = \frac{1}{\sigma_a^2} \exp\left(\frac{-x + (\beta C)^2}{\sigma_a^2}\right) I_0\left(\frac{2\beta C\sqrt{x}}{\sigma_a^2}\right) \quad (25)$$

که در روابط فوق I0(x) تابع بل اصلاح شده نوع اول از

مرتبه صفر می‌شود:

$$I_0(x) = \frac{1}{\pi} \int_0^x \exp(x \cos \theta) d\theta \quad (26)$$

حال با توجه به روابط (۱)، (۲) و تعریف احتمالات ششگانه SLB، روابط انتگرالی زیر برای احتمالات سیستم بیان می‌شود:

$$P_{FA} = \int_Y^\infty p(x | H_0)^F \int_0^x p(x | H_0) dx dy \quad (27)$$

$$P_D = \int_Y^\infty p(x | H_1)^F \int_0^x p(x | H_1) dx dy \quad (28)$$

$$P_{FT} = \int_0^\infty p(x | H_2)^F \int_0^x p(x | H_2) dx dy \quad (29)$$

$$P_{FB} = \int_0^\infty p(x | H_0)^F \int_0^x p(x | H_0) dx dy \quad (30)$$

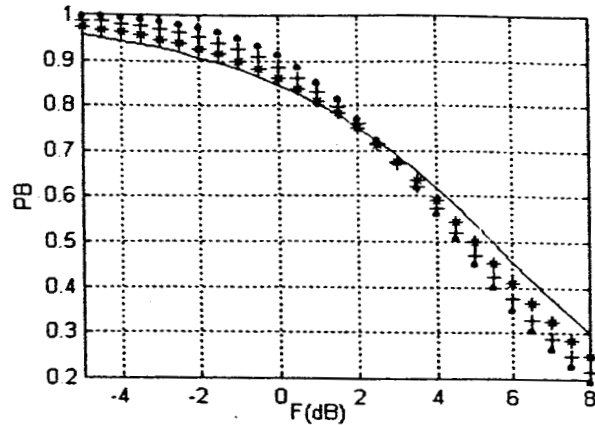
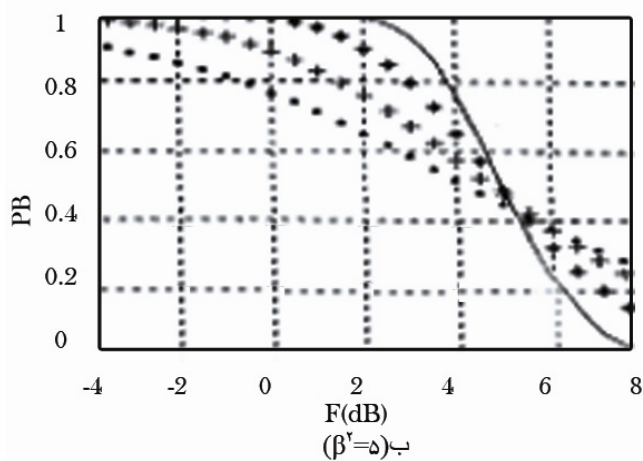
$$P_{TB} = \int_0^\infty p(x | H_1)^F \int_0^x p(x | H_1) dx dy \quad (31)$$

$$P_B = \int_Y^\infty p(x | H_2)^F \int_0^x p(x | H_2) dx dy \quad (32)$$

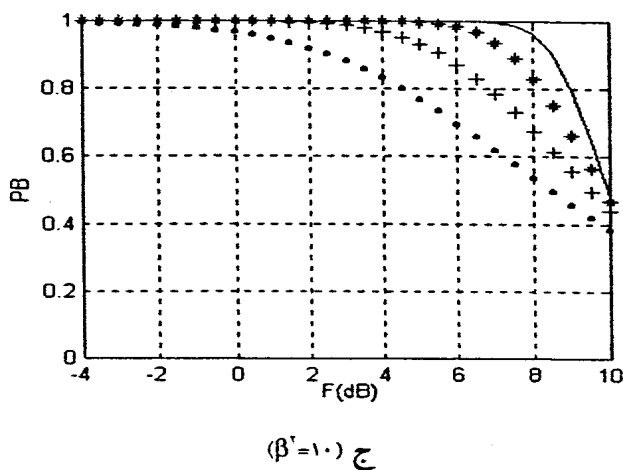
$$JNR_0 = \frac{C^2}{\sigma_m^2} \quad (33)$$

$$P_B = \frac{F}{r+F} \left[1 - Q\left(\sqrt{\frac{2F.JNR_0}{r+F}}, \beta\sqrt{\frac{2JNR_0}{r+F}}\right) \right] \quad (34)$$

$$+ \frac{r}{r+F} Q\left(\beta\sqrt{\frac{2JNR_0}{r+F}}, \sqrt{\frac{2F.JNR_0}{r+F}}\right)$$



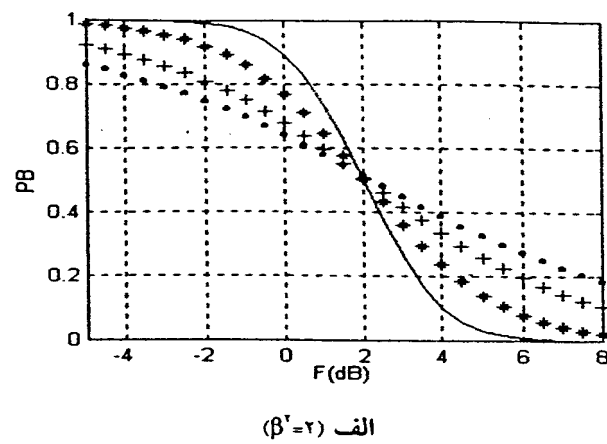
شکل ۳- احتمال مسدودکردن بر حسب آستانه مسدودکنندگی

 $r=7.5 : -$, $r=5 : *$, $r=2.5 : +$, $r=0 \text{ dB} : .$ شکل ۴- احتمال مسدودکردن بر حسب سطح آستانه مسدودکنندگی برای مقادیر مختلف β و JNR

از مقایسه نمودارهای شکل (۴) که برای 10 و 5 و $2 = \beta^2$ رسم شده‌اند، مشخص می‌شود که با افزایش مقدار β احتمال مسدودکردن حتی برای اختلال‌هایی با توان کم افزایش پیدامی کند. مثلاً بهازای سطح آستانه $F=-2.5$ dB برای $JNR=0$ dB احتمال مسدودکردن بهازای $\beta^2 = 10$ dB به 90% می‌رسد.

به طور خلاصه احتمال مسدودکردن زیاد بهازای مقادیر کوچک سطح آستانه مسدودکنندگی و مقادیر بزرگ β بدست می‌آید. در نمودار شکل (۵) احتمال مسدودکردن هدف، PTB، بر حسب SNR در گیرنده برای مقادیر مختلف F و بهازای افزایش نسبت سیگنال به نویز احتمال مسدودکردن هدف

برای بررسی تأثیر پارامتر β و نسبت توان اختلال به نویز JNR، بر احتمال مسدودکردن این احتمال بر حسب سطح آستانه مسدودکنندگی برای مقادیر مختلف β و JNR در نمودارهای شکل (۴) رسم شده است. در این نمودارها $r=2.5$ dB می‌باشد. همان‌طور که در نمودار (۴-الف) مشاهده می‌شود، بهازای هر مقدار از JNR هرچه سطح آستانه مسدودکنندگی کوچک‌تر باشد، احتمال مسدودکردن بیشتر است و در حوالی نقطه $F = \beta^2$ احتمال مسدودکردن به شدت افت پیدا می‌کند و با افزایش سطح آستانه مسدودکنندگی احتمال مسدودکردن به سمت صفر میل می‌کند. از طرف دیگر بهازای مقادیر $F < \beta^2$ هرچه توان اختلال بزرگ‌تر باشد، احتمال مسدودکردن نیز افزایش پیدا می‌کند. به عبارت دیگر احتمال مسدودکردن اختلال‌هایی با توان کم، پایین است. به عنوان مثال بهازای $F=2.5$ dB برای $JNR=0$ dB احتمال مسدودکردن به 70% هم نمی‌رسد.



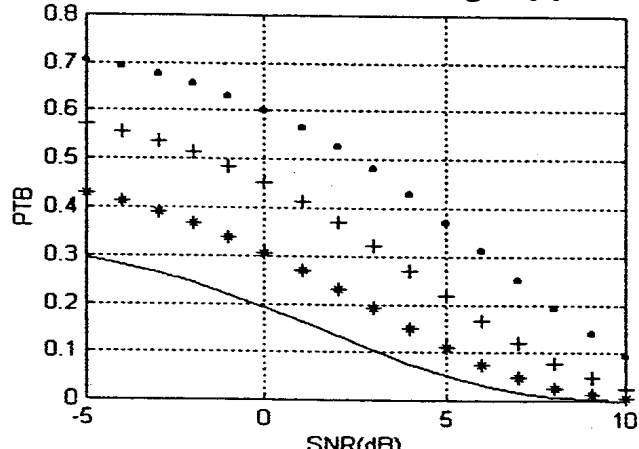
شكل(۳) نشان داد که هرچه مقدار β بزرگ‌تر باشد احتمال مسدود کردن نیز بیشتر است.

با توجه به شبیه‌سازی‌های انجام گرفته در این مقاله و روش پیشنهادی و از طرف دیگر با توجه به این که آتن کمکی یک آتن همه‌جهته می‌باشد، هرچه بهره آن بزرگ‌تر باشد، پیاده‌سازی عملی آن مشکل‌تر می‌باشد، بنابراین در روند طراحی، ابتدا کمترین مقدار برای β انتخاب می‌شود و سپس مقدار F از روی نمودار PB بر حسب F مشخص می‌شود.

- منابع

- [1] Derakhshan, Pouya; “RADAR signal Processing by TMS320 and Clutter rejection and CFAR Acquisition”, Msc. Thesis 2004.
- [2] Derakhshan, Pouya; “Reduction Distortion of Sidelobe from Radar Fundamental Signal”, 15th ICEE Conference, pp.73,2007.
- [3] Farina, A., “Design of SLB system in the presence of Correlated Ground clutter”, IEE , proc. Radar sonar Navig., Vol. 147, pp.199-208, 2000.
- [4] Shnidman,D.A and Toumodge,S.; “Sidelobe Blanking with Integration Target Fluctuation”, IEEE Trans.On AES,Vol.38,pp.1023-1037,2002
- [5] Maisel,L; “performance of sidelobe Blanking System”, IEEE Trans.On AES,Vol.4,pp.174-180,1968.
- [6] A. R. Thompson; “The response of radio-astronomy synthesis array to interfering signals”, IEEE Trans. Antennas Propagat., vol. AP-30, pp. 450–456, May 1982.
- [7] A. Zeira and B. Friedlander; “Direction finding with time varying arrays”, IEEE Trans. Signal Processing, vol. 43, pp. 927–937, Apr. 1995.
- [8] Xiaojian Xu and Ram M. Narayanan; “Range sidelobe suppression technique for coherent ultra-wideband random noise radar imaging”, IEEE Transactions on Antennas and Propagation, Vol.49, No.12, pp.1836-1842, Dec. 2001.
- [9] I.P. Theron, E.K. Walton, S. Gunawan; “Compact range radar cross-section measurements using a noise radar”, IEEE Trans. on Antennas and Propagation, vol. 46, No. 9, pp. 1285-1288, September 1998.
- [10] R.M. Narayanan, M. Dawood, “Doppler estimation using a coherent ultra wide-band random noise radar”, IEEE Trans. Ant. and Propag., AP-48, June 2000, pp. 868-878.

کاهش می‌یابد و به سمت صفر میل می‌کند. به عبارت دیگر، احتمال مسدود کردن اهدافی با توان کم، زیاد می‌شود. به عنوان مثال SNR=5dB و F=-2.5dB احتمال مسدود کردن هدف به ۷۰٪ می‌رسد. نمودار شکل (۴) نشان می‌دهد که برای یک SNR مشخص هرچه سطح آستانه مسدود کنندگی، F بزرگ‌تر باشد، احتمال مسدود کردن هدف کاهش می‌یابد. به عنوان مثال SNR=0dB احتمال مسدود کردن هدف به ازای F=5dB ۱۰٪ کمتر از حالتی است که F=2.5dB باشد [4].



شکل ۵- احتمال مسدود کردن هدف بر حسب SNR در گیرنده برای مقادیر مختلف F

- نتیجه‌گیری

هدف از طراحی سیستم SLB تعیین مقدار F، β ، Y است. به گونه‌ای که به ازای احتمال آژیر غلط مشخص حداقل احتمال مسدود کردن اختلال و حداقل احتمال مسدود کردن هدف بدست می‌آید.

در این مقاله یک راه ممکن برای طراحی سیستم پیشنهاد شد که با مقدار مورد نیاز برای PB آغاز شد. با توجه به نمودارهای شکل (۳) برای یک PB مشخص و JNR معلوم، با انتخاب F، مقدار β مشخص می‌شود و با توجه به بکارگیری واحد جمع‌کننده پالس و عدم حضور آن نتایج مناسبی را برای طراحی بدست آوردیم.

پارامتر β نسبت بهره آتن کمکی به بهره گلبرگ‌های فرعی آتن اصلی می‌باشد و همان‌طور که بیان شد این نسبت باید حدود یک باشد. به عبارت دیگر بهره آتن کمکی باید در حدود بهره گلبرگ‌های فرع آتن اصلی باشد و نمودارهای

۹- پی‌نوشت‌ها

^۱ Sidelobe Blanking

^۲ Radar Range Cell (RRC)

^۳ False Alarm

^۴ Jammer to Noise Ratio